



ULUDAĞ ÜNİVERSİTESİ * MÜHENDİSLİK FAKÜLTESİ

**1,3 - DİFENİL - 4,5 - BİS (HİDROKSİİMİNO) -
İMİDAZOLİDİN ve Ni (II), Co (II), Cu (II),
Pd (II), UO₂ (VI) KOMPLEKSLERİNİN SENTEZİ**

Uludağ Üniversitesi Fen Bilimleri Enstitüsünce
«DOKTOR»
Ünvanının verilmesi için kabul edilen tezdir.

Kimya Yük. Müh. Vefa AHSEN

Tezin Fen Bilimleri Enstitüsüne Verildiği Tarih : 9 - 5 - 1984
Tezin Savunulduğu Tarih : 11 - 7 - 1984

Doktorayı Yöneten Öğretim Üyesi : Prof. Dr. Özer BEKAROĞLU
Diğer Jüri Üyeleri : Prof. Dr. İbrahim ÖZDEMİR
: Prof. Dr. Ahmet İSFENDİYAROĞLU

1984

Ül. Akademik Kurum
Dokümantasyon Merkezi



ULUDAĞ ÜNİVERSİTESİ YAYINLARI
YAYIN No. : 4-018-0114

Bu çalışmanın bir bölümü,

Vefa Ahsen and Ö.Bekâroğlu,

"Synthesis of 1,3-diphenyl-4,5-bis(hydroxyimino)-imidazolidine and its complexes with nickel(II), cobalt(II), copper(II), palladium(II) and uranyl(VI)"

Synthesis and Reactivity in Inorganic and Metal-Organic Chemistry, U.S.A.

jurnalince kabul edilmiş olup, baskıdır.

I.	İÇİNDEKİLER
II.	ÖZET.....II
III.	SUMMARY.....IV
1.	GİRİŞ.....1
1.1.	Çalışmanın amacı ve kapsamı.....12
2.	KULLANILAN MADDE ve ALETLER.....13
3.	DENEL BÖLÜM.....14
3.1.	N,N' difenil-metandiamin (DMD) sentezi.....14
3.2.	1,3 difenil-4,5-bis(hidroksiimino)-imidazolidin.. (LH ₂) Sentezi.....15
3.3.	(LH) ₂ Ni kompleksinin sentezi.....16
3.4.	(LH) ₂ Co.H ₂ O kompleksinin sentezi.....17
3.5.	(LH) ₂ Cu kompleksinin sentezi.....17
3.6.	(LH) ₂ Pd kompleksinin sentezi.....18
3.7.	(LH) ₂ UO ₂ kompleksinin sentezi.....18
4.	SONUÇLARIN DEĞERLENDİRİLMESİ.....20
4.1.	1,3 Difenil-4,5-bis(hidroksiimino)..... imidazolidin (LH ₂).....20
4.2.	(LH) ₂ 'nin geçiş metalleri ile kompleksleri....23
5.	EKLER.....29
6.	REFERANSLAR.....33
7.	ÖZGEÇMIŞ.....38

III. ÖZET

Antitümör etkileri incelenmekte olan vic-dioksimlerle, terapötik etkilerden ötürü kullanım alanı bulan imidazolidin türevleri ayrı ayrı birçok çalışmaya konu olmuştur. Bu iki fonksiyonel gurubun bir arada bulunması halinde, her ikisinin özelliklerini ortak olarak bulundurabilecek yeni bir ligandın sentezi ve geçiş metalleriyle oluşturduğu komplekslerin incelenmesi bu çalışmanın esasını oluşturmaktadır.

Bir sekonder amin olan N,N'-difenilmetandiamin ile dikloroglioksim, aşırı NaHCO₃ ihtiyaç eden etanol çözeltisinde reaksiyona sokulup 5-Uyeli heterosiklik imidazolidin halkasının vic-dioksim türevi elde edilmiştir. 1,3-difenil-4,5-bis(hidroksimino)imidazolidin (LH₂) ligandının elementel analizi C₁₅H₁₄N₄O₂ kapalı formülüne çok iyi uymaktadır. Kütle spektrumunda 282 de çıkan moleküller iyon ait pik, ligandın molekul ağırlığını kesin olarak belirlemektedir. ¹H-n.m.r. spektrumunda nispeten zayıf olana (10.7 ppm) kaymış olan oksim OH protonlarına ait geniş singlet ve i.r. spektrumunda 3340 ve 2800-2600 cm⁻¹ de çıkan bandlar LH₂'de oksim protonları ile halka-daki N atomları arasında bir H köprüsünün (O-H...N) mevcudiyetini göstermektedir. Anti-formundaki ligandın bu H-köprülerinin yapıya kazandırdığı kararlılıktan ötürü amphi-formuna dönüşümü mümkün olamamaktadır.

LH₂'nin Ni(II), Co(II), Cu(II), Pd(II) ve UO₂(VI) metal iyonları ile vermiş olduğu kompleksler izole edilmiş, hepsinde de metal/ligand oranının 1:2 olduğu elementel analiz sonuçlarından anlaşılmıştır. Beşli imida-

III

zolidin halkasından ileri gelen gerginlik nedeniyle, vic-dioksim gurubunda N...N mesafesi arttıgından, nikel(II) kompleksi, beklenilen kare-düzlemsel yapıdaki kırmızı bilesik olmayıp, magnetik suszeptibilite ölçümelerinden de anlaşıldığı gibi, tetrahedral N,O-şelati halindedir. Co(II) kompleksinde iki vic-dioksim gurubu N,N'-şelati yaparak bir kare düzlem oluşturmaktır, i.r. spektrumuyla da belirlenen H_2O molekülü kare-piramidin tepesinde yer almaktadır. Magnetik momentinin 3.72 BM olması da bu yapıyı doğrular.

LH_2 'nin Cu(II), Pd(II) ve UO_2 (VI) kompleksleri ise kare düzlemsel yapıdadır. N,N-şelati oluşumu yanında O-H...O köprülerinin de meydana geldiği i.r. spektrumlarında 1760 cm^{-1} de görülen zayıf binding titresimlerinden anlaşılmıştır.

Sonuç olarak, beşli imidazolidin halkasından ötürü 1,3-difenil-4,5-bis(hidroksimino)imidazolidin'in gergin bir yapıya sahip olup, bu özellik nikel(II) ile diğer vic-dioksimlerde olduğu gibi kare-düzlemsel değil, tetrahedral bir kompleks vermesine yol açmıştır. İmidazolidin ve vic-dioksimlerin son yıllarda ilgi çeken terapötik etkileri nedeniyle LH_2 'nin bu yönden de araştırılması uygun olacaktır.

IV

III. SUMMARY

anti-Dichloroglyoxime and cyanogen-di-N-oxide, which is prepared by treating anti-dichloroglyoxime with alkali, have been used frequently in order to prepare vic-dioxime derivatives. When diamino compounds react with these two reactants heterocyclic or macro-heterocyclic dioximes are obtained. The first five-membered heterocyclic vic-dioxime, 1,3-diphenyl-2-thioxo-4,5-bis(hydroxyimino)-imidazoline, was synthesized by the reaction of diphenylthiourea with cyanogen-di-N-oxide. 1,4-diphenyl-2,3-bis(hydroxyimino)-piperazine was obtained similarly through the addition reaction of cyanogen-di-N-oxide with N,N'-diphenyl-ethylenediamine.

The square-planar complexes of vic-dioximes with various transition metal ions have been definitely determined. Two hydrogen bridges also adds to the stability of the molecule. In the case of some strained vic-dioximes, the ligand is unable to coordinate through both of the N atoms of the oximes as in the case of β -camphorquinonedioxime.

Special features of the transition metal complexes of diaminoglyoxime derivatives attract attentions since Co(II) and Co(III) complexes of the parent compound have been reported. The anti and amphi isomers of vic-dioximes have been also studied since they form N,N or N,O chelates according to the structure of the ligand.

In the present work, we describe the synthesis of a new five-membered heterocyclic vic-dioxime and its complexes with various transition metal ions.

1,3-Disubstituted derivatives of imidazolidines are

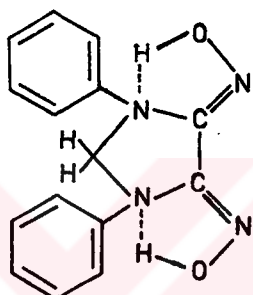
essentially prepared when a suitably N,N'-disubstituted ethylene diamine is treated with an aldehyde in an inert solvent. The only reported vic-dioxime derivative of imidazolidine, namely 1,3-diphenyl-2-thioxo-4,5-bis(hydroxyimino)-imidazoline, could have been prepared from diphenylthiourea with cyanogen-di-N-oxide. Although the rapid hydrolysis of the imidazolidines even in cold, dilute mineral acids brings special limitations, the synthesis of 1,3-diphenyl-4,5-bis(hydroxyimino)-imidazolidine (LH_2) is accomplished under various conditions. Both anti-dichloroglyoxime and cyanogen-di-N-oxide is suitable for this reaction, but the highest yield is obtained when anti-dichloroglyoxime and N,N'-diphenyl-methylenediamine react at room temperature in ethanol with excess $NaHCO_3$ as a buffer.

In the 1H -n.m.r. spectrum of LH_2 , the chemical shift of OH protons appears as a broad single band at relatively low field(10.7 ppm) implying an anti-structure for the vic-dioximes. In the case of amphi-dioximes, the proton of the OH group which is directed towards the N-atom of the other hydroxyimino function participates in an intra-molecular H-bonding(O-H...N), so two signals are observed for OH protons.

Methylene protons have been also shifted to $\delta=5.3$ ppm as a result of the cyclization. In the i.r. spectrum of LH_2 , (OH), (C=N) and (N-O) stretches are observed at 3180, 1675 and 960 cm^{-1} respectively. Other than these characteristic vibrations, a broad band about $2800\text{-}2600\text{ cm}^{-1}$ and a narrow band at 3340 cm^{-1} imply the presence of N-H and $\geq N^+-H$ groups. Similar i.r. spectra have been also obtained with 1,3-diphenyl-2-thioxo-4,5-bis(hydroxyimino)-

VI

imidazoline and 1,4-diphenyl-2,3-bis(hydroxyimino)-piperazine. Consequently, the i.r. spectra can be interpreted as the formation of O-H...N bridges between O-H groups of oximes and N-atoms of the ring. The non-planar structure of the saturated ring enables this H-bridges. The mass spectrum of LH_2 shows molecular ion peak at 282.

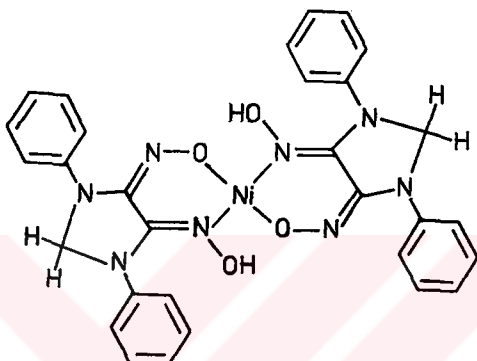


$\text{Ni}(\text{II})$, $\text{Co}(\text{II})$, $\text{Cu}(\text{II})$, $\text{Pd}(\text{II})$, and $\text{UO}_2(\text{VI})$ complexes of LH_2 have been isolated; in all these complexes metal/ligand ratio is 1:2.

LH_2 does not give characteristic red anti-dioxime complex with $\text{Ni}(\text{II})$. The pale-yellow color of $(\text{LH})_2\text{Ni}$ indicates N,O chelatation as seen in many amphi-dioximes. The strained imidazolidine ring probably prevents the formation of 5-membered NN-chelates with $\text{Ni}(\text{II})$. In the case of anti-camphorquinonedionedioxime(Hcqcd), the failure to obtain $\text{Ni}(\text{II})$ complex has been explained as due to the strained camphor skeleton. The rigid bicyclic skeleton of Hcqcd is thus responsible for larger N...N distance(3.0\AA°). Consequently, if the N-Ni-N angle is taken as 80° as in $[\text{Ni}(\text{dmg})_2]$, the Ni-N distance is expected to be 2.3\AA° which is larger than that the value (1.85\AA°) reported for $[\text{Ni}(\text{dmg})_2]$. $(\text{LH})_2\text{Ni}$ complex has a magnetic moment of

VII

3.14 B.M. so the complex is not planar as the various diamagnetic NN-chelated vic-dioximes. In $(LH)_2Ni$, the tetrahedral distortion is accomplished by the 6-membered chelate ring.



The 1H -n.m.r. spectra of Ni(II) and Co(II), complexes of LH_2 , are heavily broadened due to the paramagnetism, so the chemical shift values can not be strictly identified.

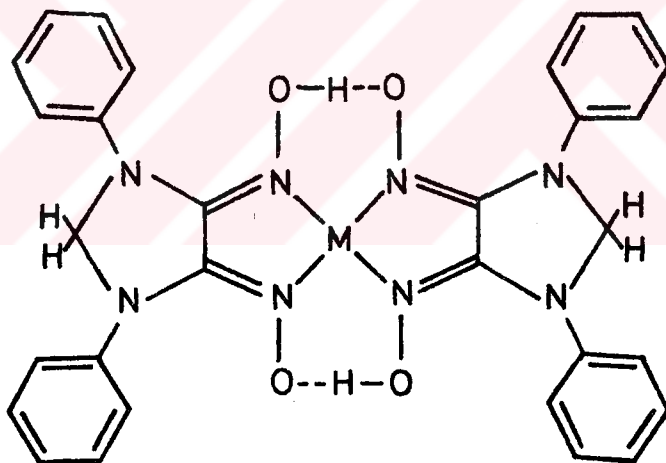
In the brown Co(II) complex of LH_2 , the presence of a coordinated water molecule is shown by the broad absorption at 3250 cm^{-1} and the elemental analysis agrees with this composition. The magnetic moment of $Co(LH)_2 \cdot H_2O$ at $19^\circ C$ is 3.72 B.M. suggesting a square-pyramidal structure.

As is the case for most anti-dioximes, LH_2 forms square-planar complexes with Cu(II), Pd(II), and UO_2 (VI). $(LH)_2Cu$ is paramagnetic ($\mu_{eff} = 1.85$) and $(LH)_2Pd$ is diamagnetic. In all these three complexes, C=N stretching vibrations are not very much effected from N-metal bond formations. The weak bands at 1760 cm^{-1} are due to (O-H.. O) bridges. The characteristic $\nu(O=U=O)$ vibrations are observed at 900 cm^{-1} in the i.r. spectrum of $(LH)_2UO_2$.

VIII

In the ^1H -n.m.r. spectra of $(\text{LH})_2\text{Pd}$ and $(\text{LH})_2\text{UO}_2$ in CF_3COOH , aromatic (6.8-6 ppm, m) and methylene (4.9 ppm, s) protons have been shifted to lower field.

As a result of this work, it may be concluded that 1,3-diphenyl-4,5-bis(hydroxyimino)-imidazolidine has a strained structure because of the five-membered ring. Therefore, a tetrahedral complex is obtained with nickel(II) instead of the usual square-planar vic-dioxime complexes. The therapeutical effects of the ligand should be also investigated since both imidazolidine and vic-dioxime groups are hopeful from this point of view.



1. GİRİŞ

Anorganik Kimyanın Önemli bir bölümü olan Koordinasyon Kimyası yüzeylimizizin hızlı gelişen ve çok sayıda araştırma ve uygulama yapılan bir bilim dalıdır.

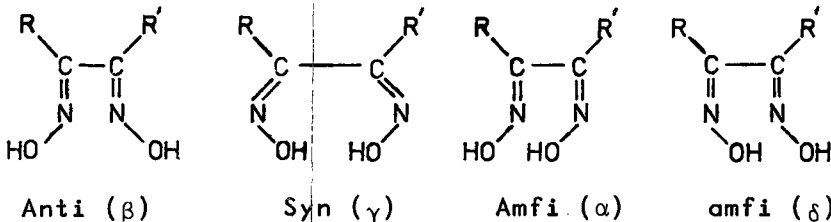
Bir geçiş metal iyonuyla ligand adı verilen elektron verici bir guruptan meydana gelen koordinasyon bileşikleri, biyolojik sistemlerin mekanizmalarının öğrenilmesi ve bu sayede gerektiğinde yönlendirici müdahalelerde bulunulması için her geçen gün daha çok önem kazanmaktadır.

Bunun yanı sıra, teknolojide tekstil boyaları, ilâç sanayi, flotasyon aracı olarak cevher zenginleştirme, suların sertliğinin giderilmesi, antioksidan, dezenfektan ve stabilizatör maddelerin sentezi gibi alanlarda koordinasyon bileşiklerinden yararlanılmaktadır. Ayrıca laboratuarlarda kalitatif ve kantitatif metal tayinlerinde kompleks yapıcı çeşitli maddeler kullanılmaktadır(1).

Geçiş metalleri ile oluşturdukları komplekslerin ilginç yapıları nedeniyle oksimler ve özellikle vic-dioksimer son yıllarda büyük önem kazanmışlardır.

Mayer tarafından $\text{C}=\text{N}-\text{OH}$ gurubu taşıyan maddelere oksi-imin kelimelerinin kısaltılmasıyla "oksim" adı verilmiştir. Oksimler aldehit ve ketonların karakterize ve izole edilmelerinde türevleri olarak kullanılmışlardır(2).

Vic-dioksim adını alan organik ligandlarda ise dört izomerik yapı mümkündür. Bu izomerlerin adlandırılmaları aşağıda görüldüğü şekilde yapılır:



Ayrıca üç ve dört adet oksim gurubunu aynı molekül üzerinde görmek de mümkün olmaktadır. Fakat bu sonuncuların sayısı dioksimlere nazaran oldukça azdır.

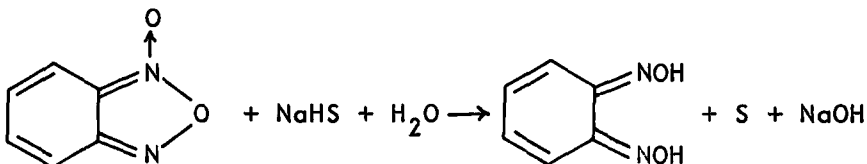
Genellikle renksiz veya açık renkli olan oksimler OH grupları nedeniyle zayıf asidik $>\text{C}=\text{N}$ gurubu nedeniyle de zayıf bazik karakter gösterirler. Bu amfoter özellikteki maddeler hem mineral asidlerde hem de kuvvetli bazların seyreltik çözeltilerinde gözünürler.

Vic-dioksim grupları bir halka üzerinde bulundukları zaman, halkanın yapısına bağlı olarak sterik bazı değişimlere maruz kaldılarından düz zincir yapısındakilerden ayrı ele alınmalıdır. Hetero atom ihtiya etmeyen halkaların vic-dioksim türleri genel olarak α -dikarbonillerin hidroksilamin ile reaksiyonundan elde edilirken, vic-dioksim gurubuna komşu hetero atom taşıyan bileşikler bu yöntemle hazırlanamazlar(3).

Altılı halka üzerinde vic-dioksim gurubu bulunduran vic-dioksimlerden, üzerinde en çok çalışma yapılanı siklohekzandiondioksimidir. Siklohekzandionun hidroksilaminle reaksiyona sokulmasıyla kolayca ele geçen bu oksimin anti yapıda olduğu da $^1\text{H-n.m.r.}$ spektrumunda oksim gurubu protonuna ait kimyasal kaymanın 10,02 ppm de tek bir singlet olmasından ve i.r. spektrumunda hidrojen köprüsünün gözlenmemesinden anlaşılmaktadır(4).

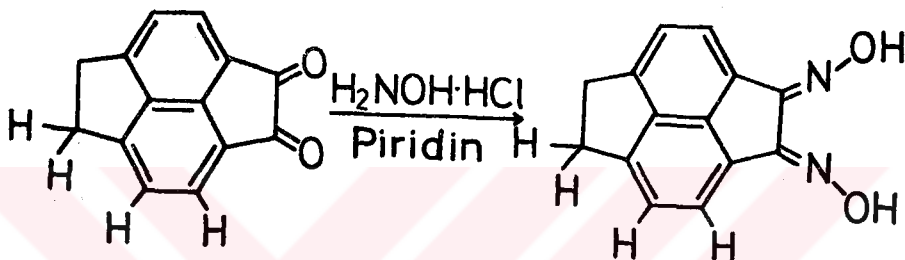
Bilindiği gibi vic-dioksimler eğer amphi yapısında iseler, oksim gruplarından birine ait proton, komşu oksimin azotu ile hidrojen köprüsü oluşturur ve (OH) gruplarının çevreleri farklılaşmış olur. Böylece iki ayrı yerde pik gözlenir. Literatürde nioksim olarak da adlandırılan sikloheksandiondioksimin nikel(II)kompleksi, kırmızı renkli, diamagnetik özellik gösteren kare düzlem yapıdadır. Metal ligand oranı 1:2 olup, nikel iyonu azot atomları üzerinden liganda bağlanır. Ligand ve kompleksin i.r. bandları karşılaştırıldığında ligandda 3380 cm^{-1} deki $\nu(\text{O-H})$ komplekste 1775 cm^{-1} de, ligandda 1640 cm^{-1} deki $\nu(\text{C=N})$ komplekste 1575 cm^{-1} de ve yine ligandda 960 cm^{-1} deki $\nu(\text{N-O})$ bandı komplekste 1066 cm^{-1} de gözlemlenmektedir. 1775 cm^{-1} deki absorbsiyon, kompleks teşekkül ettiğinde metal ile dört azot atomunun oluşturduğu kare düzlemde iki adet hidrojen köprüsunun teşekkül ettiğini gösterir(5).

Değişik bir yolla sentezi gerçekleştiren altılı hal-ka Üzerindeki vic-dioksimlerden birisi de benzokinondioksimidir. Bu ligand aşağıdaki reaksiyon denklemi gereğince, indirgeme yoluyla elde edilmiştir(6).



Bu oksimin Ni(II), Pd(II) ve Pt(II) kompleksleri yapılip incelenmiştir. Kare düzlemsel komplekslerin elementel iyod ile yükseltgenmesiyle oktaedral Ni(IV), Pt(IV) Pd(IV) kompleksleri elde edilmiş ve bunların kristal oluşumunda kolon yapısında olduğu tespit edilmiştir.

Yine hidroksilamin hidroklorür ile sentez edilen ve yapısında iki tane beşli halka bir de naftalin halkası ihtiva eden bir vic-dioksim 5,6-dihidrosiklopent [f,g]asenaftilen-1,2-diondioksimidir.



Bu ligand güç reaksiyon veren karbonil bileşiklerinin oksimlenmesinde uygulanan bir yönteme göre, gözücü olarak piridin kullanmak suretiyle hidroksilamin ve 5,6-dihidrosiklopent[f,g]asenaftilen-1,2-diondan elde edilmiştir. $^1\text{H-n.m.r.}'$ ında 12,1 ppm de tek bir singlet bulunması anti yapısında olduğunu gösterir. Ayrıca i.r. spektrumunda 3290 cm^{-1} de gözlenen $\nu(\text{OH})$ vibrasyonu bu yapıyı doğrular. Çeşitli geçiş metalleri ile kompleks oluşturabildiğinden syn- yapısında bulunması söz konusu değildir. Cu(II), Ni(II), Co(II), Pd(II), Pt(II) ve Cd(II) tuzları ile metal-ligand oranı 1:2 olan kare düzlemsel kompleksler vermiştir. Oktahedral kobalt(III) komplekslerinde ise 1. ve 6. koordinasyonlarda piridin, trietilamin ve trifenilfosfin gibi bir baz ile, bir klorür iyonu yer almıştır. Uranil kompleksinde 1:1 olan metal-ligand oranı, kompleksin (OH) köprüleri ile birbirine

bağlanmış dimerik bir yapıda olabileceğini göstermiştir(7).

5,6-Dihidrosiklopent [f,g]asenaftilen-1,2-dionun aksine asenaftilen-1,2-dion hidroksilamin ile kolay reaksiyon verir ve etanol içerisinde oksim türevi elde edilebilir. Bu vic-dioksimin çeşitli geçiş metalleri ile verdiği komplekslerin yanısıra, kobalt kompleksleri Uzerrinde yoğun bir çalışma yapılmış, daha önce Schrauzer'in (8) hazırlamış olduğu bis(dimetilglioksimato)kobalt kompleksleri ile benzerlikleri araştırılmıştır. Co-Co bağı içtiva eden dimer Co(II) komplekslerinin, Schrauzer tarafından hazırlanan dimetilglioksim komplekslerinden daha da kararlı oldukları gözlenmiştir. Co-C bağıının stabilitesi açısından sübstitüe alkil gurupları içtiva eden ve reaksiyon ortamının pH'ına bağlı olarak α - ve β -siyanoethyl-bis(1,2-asenaftilendiondioksimato) kobalt (III) kompleksleri elde edilmiştir. Diğer taraftan, 1,2-asenaftilendiondioksim Pt(IV) ile verdiği oktaedral yapıda ve Pt(II), Pd(II) ile oluşturduğu kare düzlemsel yapıdaki kompleksleri de izole edilmiştir(9).

α, β, γ ve δ -Hcq'd olarak gösterilen kamforkinondioksimin dört geometrik izomeri rekristalizasyon ile birbirinden ayrılabilmiştir. Kamfor iskeletindeki beşli ve altılı halkalar molekülün gerilimli bir yapıda olmasına sebep olur ve oksimlerin stereokimyasal yapısını etkiler. Molekül içi hidrojen bağı nedeniyle(OH) stretching titreşimleri α -Hcq'd de 3060 cm^{-1} de δ -Hcq'd de ise 3120 cm^{-1} de görülür. β -izomerinde ise (OH) absorbsiyonu daha yüksek frekansa kayar 3200 ve 3390 cm^{-1} (10). β -Hcq'd'in $^1\text{H-n.m.r.}$ spektrumunda $10,5\text{ ppm}$ 'de (OH) protonu için tek bir singlet tespit edilmişken, molekül içi hidrojen bağından ötürü, α izomerinde $11,1$ ve $11,2\text{ ppm}$ 'de ve δ izomerinde ise,

10,9 ve 11,1 ppm de iki ayrı pik olarak görülmüştür(11). Kırmızı bis-(dimetilglioksime)nikel(II) kompleksinin çok iyi bilinen kararlı yapısına karşılık β -Hcqd'nin Ni(II) kompleksi hazırlanmak istendiğinde sarı amorf bir ürün ele geçmiştir. Yapısı tam olarak aydınlatılmamış olan bu bileşigin oluşum nedeni, kamfor iskeletinin beşli halkasındaki gerginlikten ötürü vic-dioksim gurubundaki ($N=C-C=N$) açılarında meydana gelen artıştır. Dimetil glioksime kompleksinde $N...N$ mesafesi $2,4 \text{ \AA}^\circ$ iken, Hcqd'de $3,0 \text{ \AA}^\circ$ kadardır. Bu büyük değer esnek dimetilglioksimin aksine, β -Hcqd'de daha zayıf bir koordinasyonun oluşacağını gösterir. Öte yandan β -Hcqd Pd(II), Co(II) ve Fe(II) ile N,N-şelati oluşturmuştur. α ve δ -Hcqd ise beklenildiği gibi, aynı metallerle N,O şelatları meydana getirmiştir(10). L- β -pinen'den çıkılarak hazırlanan nopino-kinondioksimin anti(β)- ve amphi(δ)- türlerinde vic-dioksim grupları altılı halka üzerinde yer almıştır. β -Hcqd'de olduğu gibi, bir gerginlik söz konusu olmadıından β -izomeri N,N, δ -izomeri ise, N,O-şelatları meydana getirmiştir.

vic-Dioksim gurubuna komşu heteroatom ihtiva eden heterosiklik bileşikler, bu tür α -dikarbonillerin hidrosilamin ile reaksiyonundan elde edilememektedir. Örneğin; difeniltioparabanasidin bilinen oksimleme yöntemleriyle karbonil gruplarının yerine oksim grupları sokulamamış ve iki hetero atomlu bu beşli halkanın vic-dioksim türünü elde etmek mümkün olamamıştır. İşte bu tip dioksimlerin sentezi için 1911 de Steinkopf(12) tarafından hazırlanmış olan disiyano-di-N-oksit reaktif olarak kullanılmıştır. Bu yöntem ilk defa Grundmann tarafından 1965 de bazı alifatik ve aromatik aminlere uygulanmıştır. Büy-

lece etilendiaminden 2,3-bis(hidroksiimino)-piperazin, o-fenilendiaminden 2,3-bis(hidroksiimino)-1,2,3,4-tetrahidrokinoksalin elde edilmiştir(13). Daha sonra bu yolla Alexandrau ve arkadaşları(14) O ve S atomları da ihtiva eden altılı halkalar teşkil ederek vic-dioksimler sentez etmiştir. Örnek olarak, o-aminofenolden 2,3-bishidroksiimino-2,3 dihidro-4H benzoksazin ve o-fenilenditiol'den de 2,3-bis hidroksiimino-1,4-benzotian sayılabilir. Bu çalışmalarдан disiyan-di-N-oksitin katılma kolaylığı $\text{NH}_2 > \text{SH} > \text{OH}$ sırasını izlediği anlaşılmıştır. Ele geçen ürünlerin i.r. spektrumlarında $3150-3400 \text{ cm}^{-1}$ de $\nu(\text{OH})$ $1635-1655 \text{ cm}^{-1}$ $\nu(\text{C=N})$ ve $955-970 \text{ cm}^{-1}$ aralığında da $\nu(\text{N-O})$ titresimlerine ait pikler gözlenmiştir(14).

Bu son iki çalışmada elde edilen vic-dioksimlerin tranzisyon metal kompleksleri adı geçen araştırmacılar tarafından incelenmemiştir.

Son yıllarda disiyan-di-N-oksit katılma reaksiyonu sekonder aminlere de uygulanmıştır. Bunun sonucunda N,N'-difeniletildiaminden 1,4-difenil-2,3-bis(hidroksiimino)piperazin ele geçmiştir. Anti formunda olan bu oksimin i.r. spektrumundan 3250 cm^{-1} de $\nu(\text{OH})$, 1640 cm^{-1} $\nu(\text{C=N})$ ve 980 cm^{-1} de $\nu(\text{N-O})$ titresimleri gözlenmiştir. Cu(II), Ni(II), Co(II), Co(III) ile oluşturdukları komplekslerde anti-1,4-difenil-2,3-bis(hidroksiimino)piperazin oksim azotları Üzerinden koordinasyona girmiştir, amphi- türevinde ise, N,O-şelçetleri oluşmuştur. Hetero atomlu ve vic-dioksim gurubunu ihtiva eden beşli halka sistemi ilk defa difenil tio Urenin disiyan-di-N-oksit ile reaksiyonundan ele geçmiştir. $^1\text{H-n.m.r.}$ spektrumunda (OH) protonuna ait $11,4 \text{ ppm}^1$ de tek bir pik oluşu ve i.r. spektrumunda da 3250 cm^{-1} de $\nu(\text{OH})$ ait absorbsiyon, yapının anti-formunda

olduğuna işaret eder. Bu ligandın anti-formu etilalkolde beş saat kaynatılmakla amphi-formunu vermiştir. Bu sonuncunun $^1\text{H-n.m.r.}$ da (OH) protonuna ait iki ayrı pik 13,05 ve 11,25 ppm'de gözlenmiştir. Ayrıca i.r. spektrumunda'da amphi yapısına özgür, (O-H) titreşim 3200 cm^{-1} 'de gözlenmiştir. Ligandın anti-formundan sentez edilen Ni(II) kompleksi kırmızı renkli olup, kare düzlem yapıdadır. Amphi-dioksimde ise, nikel iyonu N ile O atomlarından bağlanır ve sarı-yeşil renkli bir kompleks verir. Bu sonuncunun i.r. spektrumunda anti-Ni(II) kompleksinde 1700 cm^{-1} deki hidrojen köprüsüne ait bending titreşimi gözlenmemekte buna karşılık serbest (OH)lara ait 3200 cm^{-1} de bir pik gözlenmektedir. Cu(II), Co(II), Co(III)'ün anti-formdaki kompleksleri kahverenkli olup, benzer renkte olan amphi-izomerleri de hazırlanmıştır. Oktahedral kobalt komplekslerinde 1. ve 6. koordinasyonlara piridin, trifenil fosfin ve klorür bağlanmıştır. Bunların içinde sadece trifenil fosfin ve klorürün koordine olduğu kobalt(III) kompleksi yeşil siyah renkte olup, diğerleri kahverenğinin değişik tonlarındadır(15).

vic-Dioksim gurubuna komşu hetero atom ihtiva eden oksimlerin elde edilmelerinde değişik bir yöntem de aminlerin, diklorglioksim ile etanol gibi organik bir çözücüde katı NaHCO_3 in aşırısının mevcudiyetinde gerçekleştirilen reaksiyondur. Bu yolla çeşitli sayıda donör atomlara sahip yeni makrosiklik vic-dioksimlerin sentezini yapmak ve bunların geçiş metalleriyle komplekslerini incelemek mümkün olmuştur.

2,3-Bis(hidroksimino)-1,4-diaza-7,10,13,16,19-pentaoksas-(5,6)-(20,21)-dibenzo-siklohepten-5,20-dien ligandi oksim guruplarının azotlarını üzerinden kare düzlemsel yapı-

da metal/ligand oranı 1:2 olan Cu(II), Ni(II), Co(II), kompleksleri yapmıştır. Bu komplekslerin i.r. spektrumlarında oluşan hidrojen köprülerine ait bandlar 1725-1720 cm^{-1} civarında görülmüştür. Ligandın $^1\text{H-n.m.r.}$ 'ında (OH)'a ait proton 10,3 ppm'de gözlenmiş, komplekslerin ise çözünürüklerinin azlığı nedeniyle spektrumları alınamamıştır. Aynı ligandla 1:1 oranında Cd(II) ve Zn(II) kompleksleri de sentez edilmiştir. Bu kompleksler taktirinde ligandın iki azotu ve iki hidroksil iyonu metal iyonuna koordine olmuştur. Bu komplekslerde, ligandda 1640 cm^{-1} 'de gözlenen $\nu(\text{C=N})$ titresimi 1620 cm^{-1} 'lere kaymaktadır ve ligandın $\nu(\text{OH})$ titresimine ait absorbsiyonlar kaybolmamaktadır. Ayrıca iki hidroksil köprüsüne sahip dimerik yapıda bir de Uranil(VI) kompleksi sentez edilmiş olup, i.r. spektrumunda 905 cm^{-1} de $\nu(\text{O=U=O})$ ya ait pik gözlenmiştir. Bu ligandın halka boşluğuna hiç bir tranzisyon metal iyonu girerek kompleks vermemiştir(16).

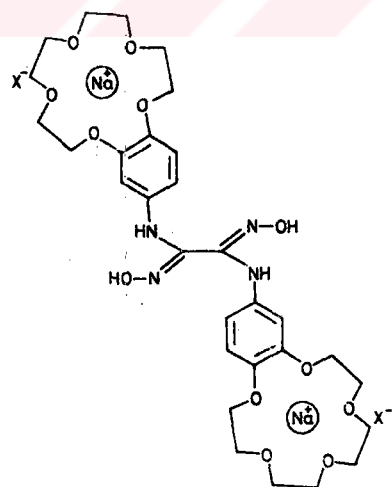
Son bir çalışmada ise, poliaza makrosiklik yapı üzerinde vic-dioksim gurubu taşıyan yeni bir ligandın sentezi gerçekleştirılmıştır. 1,2-bis(ω -aminofenilamino) etan ile dikloroglioksimden ele geçen bu ligandın adı : 2,3-bis(hidroksimino)-1,4,7,10-tetraaza-(5,6)-(11,12)dibenzo-siklododeka-5,11-dien'dir.

Bu ligandın önemli bir farkı oksim guruplarından ve makrosiklik halkada bulunan dört adet azot atomu nedeniyle buradan da kompleks teşkil etmesi, böylece metal/ligand oranı 3:2 olan trinükleer kompleksler vermesidir. Ligandın $^1\text{H-n.m.r.}$ spektrumunda 12,1 ppm'de geniş bir band vic-dioksim gurubunun anti-yapısında olduğunu belirtir. I.r. spektrumunda 3320 cm^{-1} de (OH)'a 1645 cm^{-1} de (C=N)'e ve 1015 cm^{-1} de (N-O) ya ait karakteristik pikler gözlen-

miştir. Bu ligand ile Cu(II), Ni(II), Co(II), Pd(II), UO₂(VI) ile trinükleer kompleksler elde edilmiş, çözünürlüklüklerinin azlığı nedeniyle ¹H-n.m.r. spektrumları alınmadığından yapılar, i.r. spektrumları yardımıyla açıklanmıştır(17).

Bu tetraaza-makrosiklik vic-dioksimin diğer bir özelliği dimetil sülfoksit içerisinde kaynatıldığı zaman oksim guruplarının indirgenip, sekonder amin guruplarının da yükseltgenmesi ile, tamamen konjuge 12 Üyeli bir halka olan dibenzo[b,h]tetraazasiklodosin vermesidir(18).

Vic-dioksime komşu taç eter gurubu taşıyan N,N'-bis(4'-benzo[15-crown-5])diaminoglioksim bileşiği sodyum klorür kompleksi halinde elde edilmiştir. Taç eter gurubu molekülün çözünürlüğünü artırdığından, bu ligandın çeşitli geçiş metalleri ile oluşturduğu komplekslerin yapısı $^1\text{H-n.m.r}$ spektrumlarından da yararlanılarak aydınlatılmıştır(19).



İki azot atomu ihtiyaca eden tamamen doymuş beşli halkadan oluşan imidazolidin ve türevleri genellikle 1,2 diaminerlerin aldehitlerle kondansasyonundan elde edilmiştir. Örneğin; 1,3 difenil imidazolidin ilk defa 1887 de Moss tarafından sentez edilmiştir(20). Daha sonra Wanlick(21) ve Jaunin(22) aldehitlerin tanınmalarına yarayan 1,2 diamin reaktifleriyle çok sayıda imidazolidin türevi elde etmişlerdir.

Ayrıca imidazolidinler terapötik maksatlarla birçok kere kullanılmışlardır. Gerçekten asidik ortamda(örneğin kanserli hücrelerde) kolay bozunarak aldehit ve aminerleri açığa çıkarmaları organizmada aktif maddelerin taşınamaları içinde araç olarak kullanılmalarını sağlamıştır. Streptomisin ve N,N' di-isopropil etilen diamin bu suretle kullanılmıştır(23).

Ayrıca imidazolidin türevlerinden 1,3 difenil imidazolidin tekstilde(Gelled dispersion) baskı boyası paspasında (% 0,2 oranında) ve fotoğrafçılıkta süper sensitized maddesi olarak kullanılmıştır.

Bunların dışında bu maddeyle ilgili bazı yeni araştırmalar damevcut olup, madde hakkında spektroskopik ve riler elde etmek mümkün olmuştur. Buna göre literatürde alınan NMR spektrumunda fenil protonları 7,4-6,4 ppm arasında ($\text{N}-\text{CH}_2-\text{N}$)deki (CH_2) protonları 4,6 ppm de diğer (CH_2)ler de 3,5 ppm de (singlet) gözlenir(24).

1.1. Çalışmanın Amacı ve Kapsamı

Antitümör etkileri incelenmekte olan vic-dioksimlerle, terapötik, etkilerden ötürü kullanım alanları bulan imidazolidin türevlerini bir arada taşıyan 1,3-difenil-4,5-bis(hidroksimino)-imidazolidinin sentez edilmesi ve bazı geçiş metalleri ile oluşturacakları komplekslerin hazırlanması bu çalışmanın amacını teşkil eder.

N,N'-difenilmetandiamin ve anti-dikloroglioksimin, aşırı miktarda sodyum bikarbonat mevcudiyetinde, etanol içerisindeki reaksiyonundan, 1,3-difenil-4,5-bis(hidroksimino)imidazolidin elde edilmiştir. Bu ligand, Ni(II), Cu(II), Co(II), Pd(II) ve UO₂(VI) ile metal ligand oranı 1:2 olan kompleksler vermiştir. Ligand ve komplekslerin yapıları elementel analiz, kütle, nükleer magnetik rezonans, infrared, ultraviole-görünür bölge spektrumları ve magnetik ölçümler yardımıyla aydınlatılmaya çalışılmıştır.

2. KULLANILAN ALET VE MADDELER

2.1. Maddeler

Bu çalışmada kullanılan maddeler Merck ve Fluka firmalarından temin edilmiştir. Anti-dikloroglioksim literatüre göre hazırlanmıştır(12).

2.2. Aletler

- Infrared Spektrofotometresi: Perkin-Elmer
598 Model
- U.v.-visible Spektrofotometresi: Varian Techtron
635
- $^1\text{H-n.m.r.}$ Spektrofotometresi: Varian T60-A
- Mass Spektrofotometresi: Varian Mat-711
- pH metre : Metrohm Herisau E 520
- Magnetik Suseptibilite: "Magnet power Supplytype"
D-104
- Elementel Analizler: Basel Üniversitesi, İsviçre

3. DENEL BÖLÜM

Bu bölümde ligand ve komplekslerin sentez şekilleri, reaksiyon verimleri, çözünürükleri, erime noktaları ve komplekslerin Guy metoduna göre manyetik susceptibilite ile U.V. değerleri verilmiştir. Eklerin bulunduğu bölümde de elementel analiz sonuçları tablo I'de, infrared spektrumlarının karakteristik bandları tablo II'de, alınabilen $^1\text{H-n.m.r.}$ spektrumlarına ait bilgiler tablo III'de verilmiştir.

3.1. N,N' Difenil-metan diamin sentezi (DMD)

Dianilino metan adıyla da bilinen bu bileşik, literatürde verilene benzer bir yolla aşağıdaki reaksiyon denklemi uyarınca sentez edilmiştir(25,26).

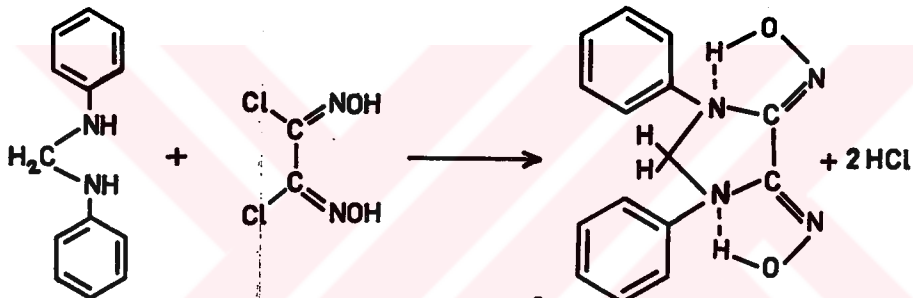


Dibi düz litrelilik bir balondaki 186 g (2 mol) anilinin içine 50 g(0,9 mol) ince öğütülmüş KOH ve 50 cm^3 etanol katılır. Bu karışım önce $80^\circ\text{C}'$ ye kadar ısıtılar ve kuvvetli bir karıştırma ile içersine % 39 luk formaldehit çözeltisinden 77 g (1 mol) yavaş yavaş eklenir. Balona geri soğutucu takılıp, iki saat 80°C de ısıtma ve karıştırma işlemine devam edilir. Bu sürenin sonunda karışım litrelilik bir ayırma hunisine konur. Yağ görünümünde olan üst faz bir behere alınır, kendi haline bırakılır. Bir gece ile bir haftaya kadar değişen sürelerde bu fazın içersinde cam gibi, renksiz, beş köşeli iki kristaller oluşur. Bir süre de buzdolabında bekletildik-

ten sonra sÜZÜLÜR, az soğuk alkolle yıkanır. Vakumda kurutulduktan sonra kapalı bir kapta saklanır. E.n. 64°C olan DMD nin eldesinde verim kristallenme süresine bağlı olarak % 65-90 arasında değişmektedir.

Dietileter, etanol, kloroform ve benzende çözünür. Etanolde çekilen UV spektrum verileri şöyledir:
 λ_{max} : 209($\epsilon=15049$), 240($\epsilon=18415$), 288($\epsilon=3168$) nm.

3.2. 1,3 Difenil-4,5 bis(hidroksiimino)-imidazolidin(LH₂)



7,92 g (40 mmol) DMD 200 cm^3 etanolde, oda sıcaklığında 500 cm^3 lük bir erlenmayerde karıştırılarak çözülür. Reaksiyondan aşağı çıkması beklenen klorür asidini nötralleştirebilecek olan NaHCO_3 miktarının yaklaşık iki katına tekabül eden 12 g NaHCO_3 , ince toz edilmiş halde ilâve edilir. Karıştırılan bu sÜspansiyona oda sıcaklığında 6,28 g (40 mmol) anti-dikloroglioksimin 70 cm^3 etanoldeki çözeltisi damla damla yaklaşık beş saatlik bir sürede katılır ve iki saat daha karıştırma işlemine devam edilir. Çözelti sÜZÜlerek, sÜZÜNTÜ buharlaştırıldığında 0,1 g krem renkli bir bakiye kalır. Çökeltideki LH₂ ise, NaHCO_3 fazlarından ve oluşan NaCl den, karışımı 500 cm^3 saf suyla 10 dakika karıştırmak ve sÜzmekle ele geçer. Bol suyla tekrar yıkanan

LH_2 son olarak soğuk alkolle yıkanır ve kurutulur. Verim 6 g (% 53) olup, madde krem rengindedir. Etanolden kristallendirildiğinde 5,14 g (% 45) LH_2 ele geber. Erime noktası: 194°C (bozunma).

U.V. spektrumu: λ_{max} (etanol): 203($\epsilon=33000$), 239($\epsilon=26250$), 285($\epsilon=15500$) nm.

LH_2 , dimetilsülfoksit, dimetil formamid, trifluorasetikasidde çözünür. Dioksan, etanol ve piridinde de az çözülmektedir.

3.3. $(\text{LH})_2\text{Ni}$ Kompleksinin Sentezi

0,564 g (2 mmol) LH_2 , 200 cm^3 etanolde karıştırılarak ve ısıtılarak çözülür. pH'ı 8 civarında olan bu çözeltiye yavaş yavaş $400 \text{ ml } 75-80^\circ\text{C}$ sıcaklığındaki saf su ilâve edilir. Bu karışımın pH'sı 6,5 olup, herhangi bir gökme olmaz. Bu sıcak çözeltiye 0,237 g (1 mmol) $\text{NiCl}_2 \cdot 6\text{H}_2\text{O}$ nun 20 ml etanoldeki çözeltisi ilâve edilince pH 4,5'a düşer. Karıştırılan çözeltiye 0,1 N KOH'in alkollü çözeltisi ilâve edilir ve pH 5,5 civarında açık sarı-yeşil renkli bir gökelti oluşmaya başlar. Baz çözeltisinden 20 ml ilâve edilip (pH=8,5), 10 dakika daha karıştırma ve ısıtma işlemine devam edilir. Ortamda reaksiyona girmeden kalmış muhtemel ligand fazlasının gökmesini önlemek için karışım sıcak sıcak suzülür ve sıcak alkol su (1:2 oranında) karışımıyla tekrar tekrar yıkanır ve kurutulur. Verim: 0,40 g (% 64) olup, ürün 196°C de bozunur. $\mu_{\text{eff}}=3,12 \text{ B.M.}$

λ_{max} (etanol): 205($\epsilon=7000$), 247($\epsilon=44000$), 285($\epsilon=38000$) nm.

Madde trifluorasetikasid, asetik asid, dimetilsülfoksit, dimetil formamid dioxan, piridinde çok, metanol, etanol ve aseton da çözünür diğer organik çözülerde ve

suda çözünmez.

3.4. $(LH)_2Co \cdot H_2O$ Kompleksinin Sentezi

0,564 g (2 mmol) LH_2 nin 200 cm^3 sıcak etanoldeki çözeltisine 0,238 g (1 mmol) $CoCl_2 \cdot 6H_2O$ nun 20 ml etanoldeki çözeltisi karıştırılarak ilâve edilir. pH 8 den 4,5'e düşer ve renksiz çözelti kahverengi olur. Bu sıcak çözeltiye karıştırarak 0,1 N KOH'in etanoldeki çözeltisi damla damla ilâve edilir. pH 7'ye yaklaşlığında kahverengi kompleks çöker. Fazla baz ilâvesi yapılrsa çöken kompleks tekrar çözünür. Bunu önlemek için pH=7 nin üzerinde çıkılmamalıdır. Böylece ele geçen kompleks sızılıp, az soğuk alkol ve eterle yıkandıktan sonra kurutulur. Verimi: 0,190 g (% 30) olan bu kompleks 310°C ye kadar bir değişikliğe uğramaz. $\mu_{eff} = 3.72 \text{ B.M.}$

U.V. λ_{max} (d.m.f.): 265 ($\epsilon=30530$), 273 ($\epsilon=26520$) nm.

Madde trifluorasetik asid, asetik asid, dimetilformamid, dioxan, piridinde çok, alkol ve asetonda az çözünür, diğer organik çözücülerde ve suda çözünmez.

3.5. $(LH)_2Cu$ Kompleksinin Sentezi

0,564 g (2 mmol) LH_2 200 ml sıcak etanolde karıştırılarak çözülür. Bu renksiz çözeltiye yavaş yavaş 0,170 g $CuCl_2 \cdot 2H_2O$ nun 20 mol alkoldeki çözeltisi ilâve edildiğinde renk koyu kahveye döner. pH'ı 3,2 olan bu çözelti karıştırılarak ısıtılır ve 0,1 N KOH'in alkoldeki çözeltisinden damla damla 20 cm^3 ilâve edilince pH 9 olur ve kompleks tamamen çöker. Bu çökelti sızılır, sıcak alkol aseton ve eterle yıkandıktan sonra kurutulur. Sızıntı renksizdir. Verim: 0,520 g (% 83) olup, madde 205°C de bozunur.

$\mu_{\text{eff}} = 1,85 \text{ B.M.}$

U.V.: λ_{max} (piridin): 295 ($\epsilon=25120$), 310 ($\epsilon=17430$) nm.
Kompleks sadece piridinde çözünür.

3.6. $(\text{LH})_2\text{Pd}$ Komplekslerinin Sentezi

0,177 g (1 mmol) PdCl_2 ve 0,118 g (2 mmol) NaCl karıştırılıp iyice öğütüldükten sonra 100 cm^3 etanolde hafifçe ısıtılarak çözülür. Çözünmemiş kısım varsa suzulur. Bu şekilde ele geçen $\text{Na}_2[\text{PdCl}_4]$ çözeltisi 0,564 g (2 mmol) LH_2 'nin 200 cm^3 etanoldeki çözeltisine yavaş, yavaş katılır. pH'ı 2,5 olan berrak turuncu renkli bu çözeltiye karıştırarak 0,1 N alkollü KOH çözeltisi ilâve edilir. pH 5'te sarı turuncu kompleks gökmeye başlar. Toplam 20 cm^3 KOH çözeltisi katıldığında pH 7 olur ve kompleks tamamen çöker.

Madde suzulerek, alkol ve asetonla yıkandı, dietil eterle kurutulur.

Verim: 0,41 g (% 61) dir. E.N.: 205°C (bozunma),
 μ_{eff} : diamagnetik.
U.V.: λ_{max} (asetik asid): 247 ($\epsilon=49330$), 283 ($\epsilon=39290$), 312 ($\epsilon=35950$) nm.

Trifluor asetik asid ve asetik asid dışında hiçbir çözücüde çözünmez.

3.7. $(\text{LH})_2\text{UO}_2$ Kompleksinin Sentezi

0,564 g (2 mmol) LH_2 'nin 200 cm^3 etanoldeki sıcak (70°C) çözeltisine 0,424 g (1 mmol) $\text{UO}_2(\text{CH}_3\text{COO})_2 \cdot 2\text{H}_2\text{O}$ nun 20 cm^3 etanoldeki çözeltisi damla damla ve karıştırılarak ilâve edilir. Kanarya sarısı kompleks hemen çöker. Suzugulur, suzungürenksizdir. Alkolle, asetonla ve

dietileterle yıkandıktan sonra kurutulur. Verim: 0,605 g (% 72) olup, kompleks 236°C de bozunur.

U.V. λ_{max} (asetik asid): 248 ($\epsilon=24130$), 270 ($\epsilon=48660$), 283 ($\epsilon=54560$) nm.

Trifluorasetik asid ve asetik asid dışında hiçbir çözücüde çözünmez.

4. SONUÇLARIN DEĞERLENDİRİLMESİ

4.1. 1,3-Difenil-4,5-bis(hidroksiimino)-imidazolidin(LH₂)

N,N'-Difenilmetandiamin(DMD) ilk defa 1894 de Eberhardt(25) tarafından anilin ile formaldehidin bazik ortamda kondenzasyonundan sentez edilmiş, daha sonra birçok araştırmalarda kullanılmış olmasına karşılık ancak 1974 deki bir çalışmada maddenin ¹H-n.m.r. spektrumuyla ilgili bilgi verilmiştir. DMD'deki metilen protonları için bildirilen değer $\delta=4,45$ ppm'dir.

N,N'-DifeniltioÜreden çıkararak imidazolidin halkası ihtiyaç eden vic-dioksimin sentezi ancak siyanojen-di-N-oksit katılma reaksiyonu ile mümkün olabilmistiir(15). Zira amid yapısındaki NH grupları anti-dikloroglioksim ile doğrudan reaksiyon verememektedir. Bu çalışmada sekonder bir amin olan N,N'-difenilmetandan çıkararak LH₂'nin sentezi hem siyanojen-di-N-oksit, hem de anti-dikloroglioksim ile gerçekleştirılmıştır. Ancak anti-dikloroglioksim ile hem reaksiyon şartlarının kolaylığı, hem de verimin yüksek olması LH₂'nin bu yöntemle sentezine ağırlık verilmesine sebep olmuştur. Elementel analiz sonuçlarına göre C₁₅H₁₄N₄O₂ kapalı formülüne çok iyi uyum gösterdiği belirlenen ligandın yapısı spektral yöntemler yardımıyla açığa kavuşmuştur.

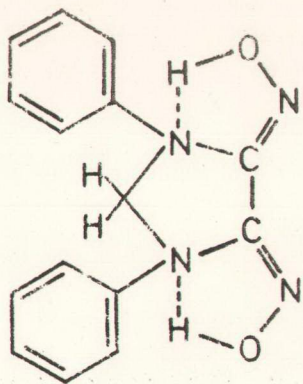
Kütle spektrumunda moleküler iyon (M^+/e) tekabül eden 282'deki pik, organik bileşigin polimerik bir yapıda olmadığını ve N,N'-difenil-metandiamin ile anti-dikloroglioksimin 1:1 oranında reaksiyona girdiğini göstermektedir.

LH₂'nin ¹H-n.m.r. spektrumunda metilen gurubuna ait pik 5.3 ppm'e kaymaktadır. Bu kaymanın sebebi teşekkürül

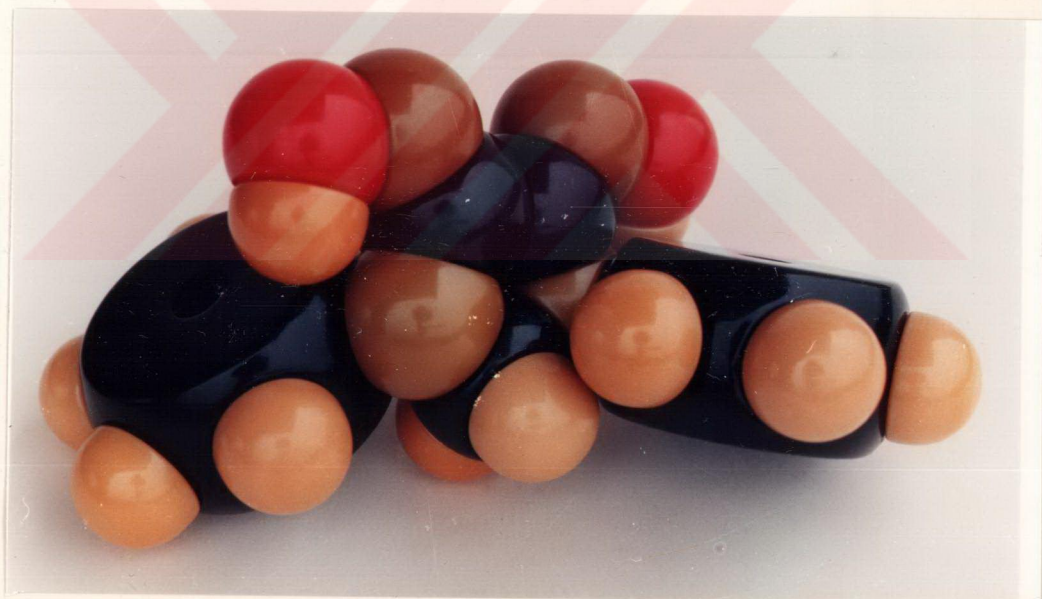
eden halkadaki iki hidroksiimino gurubudur. Bu gruplar halkada sadece metilen gurubu üzerinde kalan iki protonun önemli ölçüde zayıf alana kaymalarına sebep olmaktadır. Spektrumda oksim protonlarına ait 10.7 ppm'de geniş bir singlet ve aromatik protonlara ait 7.5-6.9 ppm'de bir multiplet mevcuttur. D_2O ilâvesinden sonra alınan spektrumda 10.7 ppm'deki pik kaybolmaktadır. (OH) protonlarının değişebilir proton özelliğinde olduğu bilindiğinden, bu beklenilen bir sonuçtır. Ayrıca (OH) protonuna ait tek bir singletin görülmesi oksimlerin anti-formunda olduğuna işaret eder(7,11,15).

DMD'nin i.r. spektrumunda 3400 ve 3360 cm^{-1} de gözlenen (NH) gurubuna ait simetrik ve asimetrik stretching titreşimleri halka oluşumu neticesinde kaybolmuştur. Öte yandan LH_2 'nin i.r. spektrumunda $2800-2600\text{ cm}^{-1}$ deki geniş band ve 3340 cm^{-1} deki keskin band ($\text{>N}^+-\text{H}$) ve (N-H) guruplarının bulunduğu gösterir. LH_2 için böyle bir yapı ancak (O-H) protonları ile düzlem yapıda olmayan halkadaki azot atomu arasında bir H-köprüsü oluşumu (O-H..N) şeklinde izah edilebilir. Zaten $^1\text{H-n.m.r.}$ spektrumunda (O-H) protonlarının oldukça zayıf alanda görülmesi de böyle bir yapıyı doğrular. Doymuş heterosiklik halkalar üzerinde vic-dioksim gurupları taşıyan 1,3-difenil-2-tiokso-4,5-bis(hidroksiimino)imidazolin(15) ve 1,4-difenil-2,3-bis(hidroksiimino)-piperazin'in(3) i.r. spektrumlarında da benzer absorpsiyonlar görülmüştür. Bu verilere dayanarak LH_2 'nin yapısı (Şekil 4.1)'de ve Kalotten model fotoğrafı da (Şekil 4.2)'de verilmiştir.

I.r. spektrumunda vic-dioksim gurubuna ait karakteristik absorpsiyonlar $\nu(\text{O}-\text{H})$, $\nu(\text{C}=\text{N})$ ve $\nu(\text{N}-\text{O})$ titreşimleri sırayla; 3180, 1675 ve 960 cm^{-1} de gözlenmiştir ve



Şekil 4.1. 1,3 difenil-4,5-bis(hidroksiimino)-
imidazolidin (LH_2)



Şekil 4.2. LH_2 'nin Kalotten Model Fotoğrafı

C: Siyah, H: Sarı, O: Kırmızı,
N: Kahverengi

bu değerler literatürde verilenlere uyar(3,7,15-17,19).

Anti-formunda elde edilen LH_2 'nin amphi-formuna dönüştürülmesi amacıyla ligand uzun süre etanol içerisinde geri soğutucu altında kaynatılmış, fakat herhangi bir dönüşümün olduğu tesbit edilememiştir. Bunun sebebi (Şekil 4.1 de) görülen ($O-H...N$) köprülerinin anti-formunu daha fazla kararlı kılmasıdır.

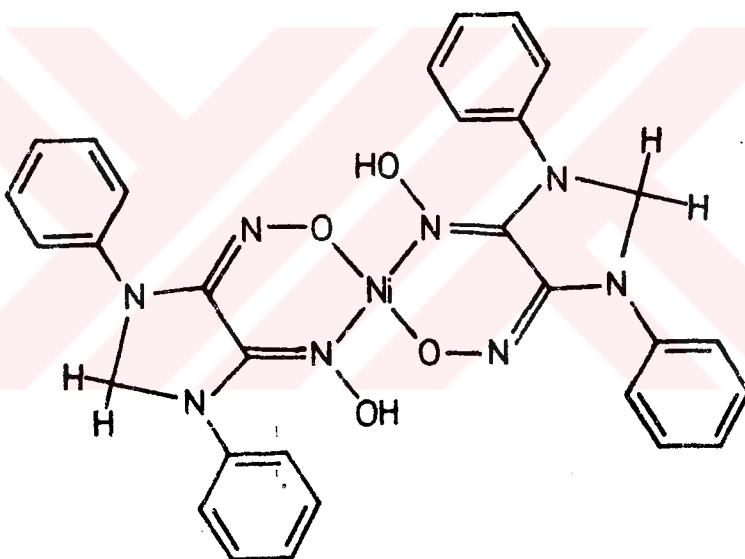
4.2. LH_2 'nin Geçiş Metalleri ile Kompleksleri

LH_2 'nin Ni(II), Co(II), Cu(II), Pd(II) ve UO_2 (VI) metal iyonları ile vermiş olduğu kompleksler izole edilmiş, bu komplekslerin hepsinde de metal-ligand oranının 1:2 olduğu elementel analiz sonuçlarından anlaşılmıştır.

Ni(II) iyonu LH_2 ile anti-dioksimler için karakteristik olan kırmızı renkli kompleks vermemiştir(2). $(LH)_2Ni$ kompleksinin açık sarı rengi, amphi-dioksimlerde görüldüğü gibi, N,O-şelati oluştuğuna işaret eder. Bundan ötürü, gergin imidazolidin halkasının 5-Üyeli N,N-şelati oluşumunu engellediği sonucuna varılır. Benzer bir durumda, anti-kamfor kinondioksim(Hcqcd) ile Ni(II) kompleksinin elde edilememesi vic-dioksim gurubunun bağlı bulunduğu kamfor iskeletindeki beşli halkanın gergin yapısına atfedilmiştir(10). Hcqcd'deki esnek olmayan iki halkalı iskelet oksimlerdeki($N...N$) mesafesinin(3.0 \AA°) daha büyük olmasına yol açar. Bis(dimetilglioksimato)nikel(II) $[Ni(dmg)_2]$ kompleksinde olduğu gibi, ($N-Ni-N$) açısı 80° olursa, Ni-N uzaklığının 2.3 \AA° olması beklenir ki bu değer $[Ni(dmg)_2]$ için verilen $1,85\text{ \AA}^{\circ}$ ve bis(diaminoglioksimato)kobalt(II)diaminoglioksim için verilen $1,885\text{ \AA}^{\circ}$ luk mesafelerden çok büyüktür(27-30). Bundan ötürü Ni(II) takdirinde N,N'-şelati oluşması mümkün

kün olmamaktadır.

Öte yandan $(\text{LH})_2\text{Ni}$ kompleksi magnetik momentinin (μ_{eff}) 3.14 B.M. olması, d^8 -konfigürasyonundaki nikelin kare-düzlemsel bir kompleks oluşturmadığını ve çiftleşmemiş iki elektronu bulunan tetrahedral bir kompleksin meydana geldiğini göstermektedir. Beşli şelât halkası ile mümkün olmayan tetrahedral distorsyon, 6-Üyeli N,O şealtı ile başarılmıştır (Şekil 4.3).



Şekil 4.3. $(\text{LH})_2\text{Ni}$ Kompleksi

I.r. spektrumu da, 3180 cm^{-1} de gösterdiği stretching titreşim bandı ile bu komplekste (O-H) gurubunun mevcut olduğunu ve 1700 cm^{-1} civarında herhangi bir absorbсиyon bulunmamasıyla de (O-H...O) köprüsünün olmadığını ispatlamaktadır.

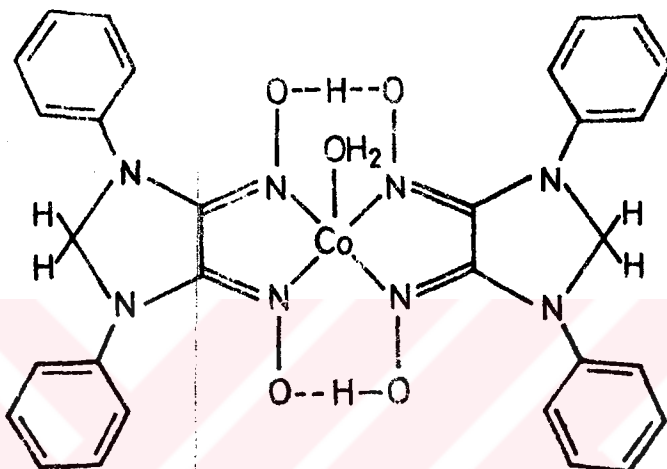
Ni(II) ve kobalt(II) komplekslerinin trifluoroasetik

asit içerisinde alınabilen $^1\text{H-n.m.r.}$ spektrumlarında, bileşiklerin paramagnetik olması nedeniyle bandlar geniş olup, aromatik ve metilen protonları beklenilen kimyasal kayma değerlerini vermiştir. 11,0-10,5 ppm arasında çözücüye ait geniş banddan ötürü, (N-OH) protonlarını ise tesbit etmek mümkün değildir. Ligandın i.r. spektrumunda $2800-2600 \text{ cm}^{-1}$ civarında görülen ve molekül içi (>N..O-H) köprüsüne atfedilen geniş bandın, komplekslerin spektrumlarında ortaya çıkmaması, söz konusu köprüünün metal iyonu ile etkileşim sonucunda bozulduğunu göstermektedir.

Metal-ligand oranı 1:2 olan kahve renkli Co(II) kompleksinin i.r. spektrumunda 1760 cm^{-1} de (O-H...O) köprüünün bending titreşimleri mevcuttur. Ayrıca 3250 cm^{-1} de metal iyonu ile koordinasyona girmiş (H_2O) molekülün stretching titreşimleri görülmektedir. Gouy yönetime göre ölçülen magnetik momentinin 3.72 B.M. olması, bazı diğer Co(II) komplekslerinde olduğu gibi, kare-piramidal bir yapıyı akla getirmektedir(10). İki LH_2 molekülü Co(II) ile N-atomları Üzerinden koordinasyona girerek kare düzlemsel bir yapı oluşturmaktadır, (H_2O) ise piramidin tepe noktasında yer almaktadır(Şekil 4.4).

Pek çok anti-dioksim gibi LH_2 de Cu(II), Pd(II) ve UO_2 (VI) ile kare-düzlemsel kompleksler oluşturmaktadır. Bu komplekslerin yapısı konusunda en kesin bilgiyi magnetik ölçümeler sağlamaktadır. Molekülün geometrisine bağlı olarak d-elektronları farklı yarılmalar göstermekte ve çiftleşmemiş elektron sayısı da buna göre değişmektedir. Örneğin; d^8 -konfigürasyonundaki Pd(II) iyonunun oktaedral ve tetrahedral alanlarda çiftleşmemiş iki elektronu bulunmakta, kare-düzlemsel alanda ise, $d_{x^2-y^2}$ dışında bütün d-orbitalerinin herbirinde çiftleşmiş iki elektron yer

almaktadır.



Şekil 4.4. $(LH)_2Co \cdot H_2O$ Kompleksi

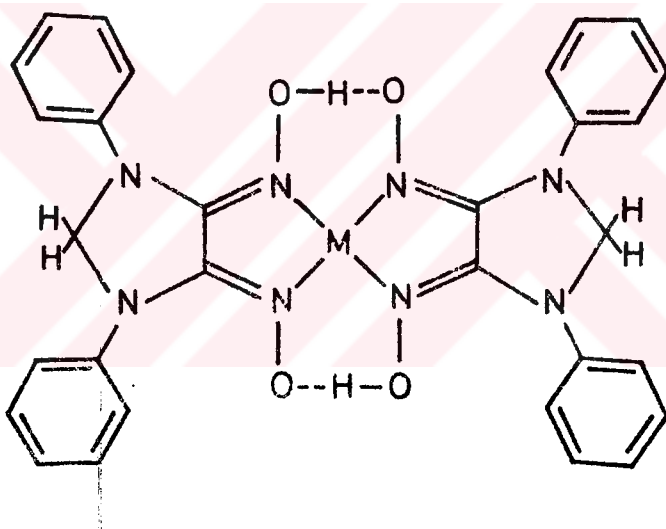
Molekülde çiftleşmemiş paralel spinli elektronların sayısı (n) ile, magnetik moment arasındaki bağıntıyı veren "spin-only" formülüne göre $\mu_{eff} = \sqrt{n(n+2)}$ dir. Buna göre, $Pd(II)$ kompleksi tetrahedral veya oktaedral olduğu takdirde $\mu_{eff} = \sqrt{2(2+2)} = 2.83$ BM civarında olacak, kare düzlemsel yapıda ise diamagnetik özellik gösterecektir.

Magnetik suszeptibilite ölçümeli kare-düzlemsel yapıya uygun olarak $(LH)_2Pd$ 'un diamagnetik olduğunu, $(LH)_2Cu$ 'ın ise, d^9 -konfigürasyonunda tek elektronu bulunan molekül için $\mu_{eff} = 1.85$ BM değerini verdiği göstermiştir.

N,N -şelati yapan bu komplekslerin i.r. spektrumlarında N-Metal bağı oluşumundan ötürü ($C=N$) stretching

titreşimlerinde önemli bir değişme olmamış, yalnız 1760 cm^{-1} 'de ($\text{O}-\text{H}\dots\text{O}$) köprüsüne ait zayıf bending titreşimleri görülmüştür. $(\text{LH})_2\text{UO}_2$ 'de ise karakteristik ($\text{O}=\text{U}=\text{O}$) stretching absorpsiyonu 900 cm^{-1} 'de çıkmıştır(31).

CF_3COOH içersinde alınan $^1\text{H-n.m.r.}$ spektrumlarında aromatik (6.8-6 ppm, m) ve metilen (4.9 ppm, s) protonlarının kimyasal kayma değerleri beklenilen yerlerde çıkmıştır(Şekil 4.5).



Şekil 4.5. $(\text{LH})_2\text{M}$ Kompleksleri [$\text{M} = \text{Cu(II)}, \text{Pd(II)}, \text{UO}_2(\text{VI})$]

Bu çalışmalarдан 1,3-difenil-4,5-bis(hidroksiimino)imidazolidin'in beşli imidazolidin halkasından ötürü gergin bir yapıya sahip olduğu sonucuna varılmıştır. Ligandin bu özelliğinden dolayı, nikel(II) ile diğer vic-dioksimlerde olduğu gibi kare-düzlemsel değil, tetra-

hedral bir kompleks vermiştir. İmidazolidin ve vic-dioksimlerin son yıllarda ilgi çeken terapötik etkileri nedeniyle LH₂'nin bu yönden de araştırılması uygun olacağrı düşünülverek NCI'ye gönderilecektir.

5. EKLER

Tablo I : LH_2 ve komplekslerinin elementel analiz sonuçları ve komplekslerin manyetik suseptibiliteleri.

Tablo II : DMD, LH_2 ve komplekslerinin karakteristik I.r. bandları (KBr tablet).

Tablo III : LH_2 ve komplekslerinin 1H -n.m.r. spektrumlarının verileri.

Tablo I
 LH_2 ve Komplekslerinin Elementel Analiz Sonuçları ve Komplekslerin Manyetik Suseptibiliteleri

Bileşik	μ_{eff}	%C	Hesaplanan(Bulunan)		
			%H	%N	%M
LH_2	-	-	63,82 (63,47)	4,96 (5,03)	19,86 (19,90)
$(\text{LH})_2\text{Ni}$	3,14	57,99 (57,80)	4,18 (4,15)	18,04 (17,90)	9,45 (9,24)
$(\text{LH})_2\text{Co} \cdot \text{H}_2\text{O}$	3,72	56,34 (56,20)	4,30 (4,22)	17,53 (17,40)	9,22 (9,02)
$(\text{LH})_2\text{Cu}$	1,85	57,50 (57,38)	4,15 (4,03)	17,90 (17,78)	10,15 (10,01)
$(\text{LH})_2\text{Pd}$	diamanyetik	53,86 (53,70)	3,88 (3,86)	16,75 (16,70)	15,91 (15,83)
$(\text{LH})_2\text{UO}_2$	-	43,26 (43,55)	3,13 (3,16)	13,46 (13,58)	28,60 (28,35)

Table II
DMD, LH₂ ve Komplekslerinin Karakteristik İ.r. Bandları(cm^{-1})(KBr tablet)

Bileşik	OH ν	CH Arom ν	C-H Alif ν	O-H..O δ	C=N ν	N-O ν	Diğer
DMD	-	-	2910-2840	-	-	-	3400 ve 3360 $\nu(\text{N}-\text{H})$
LH ₂	3180	3060	2940	-	1675	960	1595 $\delta(\text{N}-\text{H})$
(LH) ₂ Ni	3180	3050	2920	-	1640	950	3340 $\nu(\text{N}-\text{H})$
(LH) ₂ Co.H ₂ O	-	3050	2920	1760	1630	960	2800-2600 ($\gtrsim \text{N}^+ - \text{H}$)
(LH) ₂ Cu	-	3050	2920	1760	1635	940	-
(LH) ₂ Pd	-	3050	2920	1760	1650	960	-
(LH) ₂ (UO) ₂	-	3045	2910	1760	1635	990	900 $\nu(\text{O}=\text{U}=0)$

Tablo III
 LH_2 ve Komplekslerinin $^1\text{H-n.m.r.}$ Spektrumlarının Verileri

Bileşik	OH	H-Aromatik	CH_2
LH_2^a	10,7 s (2H)	7,5-6,9 m (10H)	5,3 s (2H)
$(\text{LH})_2^b \text{Ni}$	c	6,8-6,0 m (20H)	4,5 s (4H)
$(\text{LH})_2^b \text{Co} \cdot \text{H}_2\text{O}$	c	6,7-6,0 m (20H)	4,6 s (4H)
$(\text{LH})_2^b \text{Pd}^b$	c	6,8-6,0 m (20H)	4,9 s (4H)
$(\text{LH})_2^b \text{UO}_2^b$	c	7,2-6,5 m (20H)	5 s (4H)

a : Dimetilsulfoksitde çekilmişdir.

b : Trifluorasetikasitde çekilmişdir.

c : Çözucünün absorbsiyonu nedeniyle
 OH protonları gözlenmemiştir.

s : singlet

m : multiplet

6. REFERANSLAR

1. Bekâroğlu, Ö., "Koordinasyon Kimyası", İstanbul, İ.Ü. Yayınları 1972, p.537.
2. Smith, P.A.S., "The Chemistry of Open-Chain Organic Nitrogen Compounds", Vol.II., New York, Benjamin, p.29-68(1966).
3. Gök, Y. and Bekâroğlu, Ö., The Synthesis and Complex Formation of Stereoisomers of some New α -Dioximes, Synthesis and Reactivity in Inorganic and Metal-Organic Chemistry, 11, (1981), 621-631.
4. Kleinspehn, G.G., Jung, J.A. and Studniarz, S.A., The Chemical Shift of the Hydroxyl Proton of Oximes in Dimethyl Sulfoxide, Journal of Organic Chemistry, 32, (1966), 460-462.
5. "Gmelins Handbuch Der Anorganischen Chemie Nickel, Teil C, Lieferung 2", Weinheim, Verlag Chemie, 1969, p.869.
6. Bélombé, M.M., Bis(1,2-Benzochinondioximato)komplexe mit gemischter Wertigkeit, Heidelberg Üniversitesi, (Batı Almanya), Doktora tezi, 1974.
7. Gül, A., Bekâroğlu, Ö., The Synthesis and Complex Formation of 5,6-Dihidrocyclopent[f,g]acenaphthylene-1,2-dionedioxime, Synthesis and Reactivity in Inorganic and Metal-Organic Chemistry, 12, (1982), 889.
8. Schrauzer, G.N., Kohnle, J., Coenzyme B₁₂-Modelle, Chemische Berichte, 97, (1964), 3056-3064.
9. Tan, N., Bekâroğlu, Ö., Synthesis of some Organometallic Compounds of 1,2-Acenaphthylene-dione dioxime and Comparison with B₁₂ Model Compounds, Synthesis and Reactivity in Inorganic and Metal-Organic Chemistry, 13, (1983), 667.

10. Nakamura, A., Konishi, A., and Otsuka, S., Chiral Metal Complexes. Part 5. Co(II) and Some Other Transition-Metal Complexes of Chiral vic-Dioximate Ligands derived from D-Camphor and L- β -Pinene, Journal of the Chemical Society-Dalton (1979), 488.
11. Pedersen, S.B. and Larsen, E., anti-amphi and cis-trans Isomerisms in Some Bis(dioximato) nickel(II) Complexes, Acta Chemica Scandinavica, 27, (1973), 3291.
12. Steinkopf, W. und Jürgens, B., Aliphatic Nitro Compounds. X. Hydroxamyl Chlorides, Journal für praktische Chemie, 83, (1911), 468.
13. Grundman, C., Mini, V., Dean, J.M. and Frommeli, H.D., Über Nitriloxide, IV-Dicyan-di-N-oxyd , Justus Liebigs Annalen der Chemie, 687, (1965), 191-214.
14. Alexandrou, E.N. and Nicolaides, N.N., Addition Reactions of Cyanogen Di-N-oxide, Journal of the Chemical Society(C), (1969), 2319-2322.
15. Serin, S. and Bekâroğlu, Ö., The Synthesis and Complex Formation of Stereoisomers of 1,3-Diphenyl-2-thioxo-4,5-bis(hydroxyimino)imidazoline, Zeitschrift für Anorganische und Allgemeine Chemie, 496, (1983), 197-204.
16. Karadeniz, K. and Bekâroğlu, Ö., The Syntheses and Complex Formation of Four New Macroyclic vic-Dioximes , Synthesis and Reactivity in Inorganic and Metal-Organic Chemistry, 13, (1983), 1029.
17. Bank, C. and Bekâroğlu, Ö., The Syntheses and Complex Formation of Dibenzo[e,k]-2,3-bis(hydroxyimino)-1,4,7,10-tetraaza-2,3,8,9-tetrahydrocyclododecine,

- Synthesis and Reactivity in Inorganic and Metal-Organic Chemistry, 13, (1983), 1047.
18. Bank, C., Trefzer, K., GÜL, A., and Bekâroğlu, Ö., Synthesis of Dibenzo[b,h][1,4,7,10]tetraaza-cyclo-dodecene, Journal of Chemical Research, baskida.
 19. GÜL, A., and Bekâroğlu, Ö., Syntheses of N,N'-Bis(4'-Benzo[15-Crown-5])diaminoglyoxime and its Complexes with Copper(II), Nickel(II), Cobalt(III), Palladium(II) and Uranyl(VI), Journal of The Chemical Society, Dalton Transactions, (1983), 2537.
 20. Moss, F., Ueber einige Condensationsproducte von Aethylenanilin mit Aldehyden, Berichte der deutschen chemischen Gesellschaft, 20, (1887), 732-734.
 21. Wanzlick, H., W. and Löchel, W., 1,2-Dianilinoäthan als Aldehydreasens, Chemische Berichte, 86, (1953), 1463.
 22. Jaunin, R., Action des aldéhydes formique et acétique sur les d, l- et méso-dianilino-1,2-diphényl-1,2-éthanes, Helvetica Chimica Acta, 63, (1960), 561-565.
 23. Chapuis, C., Gauvreau, A., Klaebe, A., Lattes, A. et Perie, J.J., Condensation de diamines-1,2 sur les composés carbonylés. Synthèses d'imidazolidines: mecanisme de la reaction, Bulletin de La Société Chimique de France, Deuxieme Partie, (1973), 977-985.
 24. Tuszyński, P.G. and Kallen, G.R., Tetrahydrofolic Acid Model Studies. I. Equilibrium and Kinetic Studies of the Reactions of Symmetrically Substituted N,N'-Diphenylethylenediamines with Formaldehyde. Carbinol-amine and Imidazolidine Formation, Journal of The American Chemical Society, 97, (1975), 2860-2875.
 25. Eberhardt, C. und Welter, A., Ueber Einige Condensationsproducte aromatischer Amine mit Formaldehyd

- in alkalischer Lösung, Berichte der deutschen chemischen Gesellschaft, 27, (1894), 1804-1810.
26. Wakae, M. and Konishi, K., Catalytic Reduction of aniline-formaldehyde condensates, Osaka Furitsu Kogyo-Shoreikan Hokoku, 29, (1963), 47-50.
27. Bekâroğlu, Ö., Sarısan, S., Koray, A.R., and Ziegler, M.L., Molekul- und Kristallstruktur von Bis(diaminoglyoximato)kobalt(II)diaminoglyoxime, $\text{Co}(\text{C}_2\text{H}_5\text{N}_4\text{O}_2)_2 \cdot \text{C}_2\text{H}_6\text{N}_4\text{O}_2$, Zeitschrift für Naturforschung, 32 b, 387-392.
28. Bekâroğlu, Ö., Sarısan, S., Koray, A.R., Nuber, B., Weindenhammer, K., Weiss, J., and Ziegler, M.L., The Crystal Structure of Tris(oxamide oxime)cobalt (III) trichloride $\text{Co}(\text{C}_2\text{H}_6\text{N}_4\text{O}_2)_3\text{Cl}_3$, Acta Crystallographica, B.34, (1978), 3591-3593.
29. Sarısan, S., Bekâroğlu, Ö., The Preparation and Thermal Decomposition of Two Diaminoglyoxime Complexes, Thermochimica Acta, 25, 349(1978).
30. Chakravorty, A., Structural Chemistry of Transition Metal Complexes of Oximes, Coordination Chemistry Reviews, 13, (1974), 1-46.
31. Casellato, U., Vidali, M. and Vigato, P.A., Actinide Complexes with Chelating Ligands Containing Sulfur and Amidic Nitrogen Donor Atoms. Coordination Chemistry Reviews, 28, (1979), 238.

Doktora çalışmam boyunca, değerli bilgileriyle yol gösteren, karşılaştığım sorunları gözmemde yardımcı olan, kıymetli tecrübeyle her türlü yardım ve himayesini esirgemeyen, gerekli her imkânı sağlayan doktora yöneticisi, Sayın hocam Prof.Dr. Özer BEKAROĞLU'na en derin saygı ve şükranlarımı arzederim.

Uludağ Üniversitesi Mühendislik Fakültesinde çalışmalarına destek olan Sayın hocam Prof.Dr. Rasim BÜYÜKTÜR'e, Prof. Mustafa KÖSEOĞLU'na ve Mühendislik Fakültesi Dekanı Prof. Orhan BOLAK'a N.M.R. spektrumları almama yardımcı olan Boğaziçi Üniversitesiinden Doç.Dr. Hadi ÖZBAL'a saygılarımı teşekkür ederim.

Uludağ Üniversitesi Mühendislik Fakültesinden yardımlarını gördüğüm çalışma arkadaşlarım Yard.Doç.Dr. Abdülhâlik İSKENDER ve Kim.Yük.Müh. Cengiz BANK'a teşekkür ederim.

Aynı zamanda İ.T.Ü. Fen-Edebiyat Fakültesindeki değerli çalışma arkadaşlarım Yard.Doç.Dr. Ali İhsan OKUR ve Dr. Ahmet GÜL ve Birim arkadaşlarına teşekkür ederim.

Yurt içinde bulamadığım bazı kimyasal maddelerin temininde ve bazı analizlerin yaptırılmasında yardımcılarını esirgemeyen Institut für Ökologische Chemie(Münih)de doktora öğrencisi olan Kim.Yük.Müh. Hayrunnisa GÜLOĞLU'na müteşekkirim.

Doktora çalışmama maddi yönden destek olan Türk Petrol Vakfı'na da ayrıca teşekkürlerimi arzederim.

Tezi büyük bir titizlikle daktilo eden Sayın Ayşe ÇEVİKER'e teşekkür ederim.

7. ÖZGEÇMİŞ

1953 yılında Karacabey'de doğdum. İlk, orta ve liseyi Galatasaray Lisesinde bitirdikten sonra 1978 Haziran Döneminde İstanbul Üniversitesi Kimya Fakültesinden Kimya Yüksek Mühendisi olarak mezun oldum.

1979 Mayıs'ından itibaren Uludağ Üniversitesi Mühendislik Fakültesinde araştırma görevlisi olarak çalışmaktadır. Evli ve bir çocuk babasıyım.

**T. C.
Yükseköğretim Kurulu
Dokümanlaşyon Merkezi**